



## La mission MICROSCOPE pour le Test du Principe d'Equivalence

**Gilles METRIS** 





















Manuel Rodrigues (ONERA) Chef de Projet instrument Responsable CMS



Pierre Touboul (ONERA) Principal Investigateur



Gilles Metris (CNRS-UCA-OCA-Géoazur) Co PI – Analyse des données



Pierre-Yves Guidotti (CNES) Chef de Projet MICROSCOPE



Alain Robert (CNES)
Responsable Groupe Performances

## AZUC 1ERRE - OCÉAN - ESPACE

#### **SOMMAIRE**

- **❖** Le Principe d'Equivalence : enjeux et statut
- La mission Microscope
- Que mesure-t-on?
- Premiers résultats
- La suite



## Le Principe d'Equivalence enjeux et statut

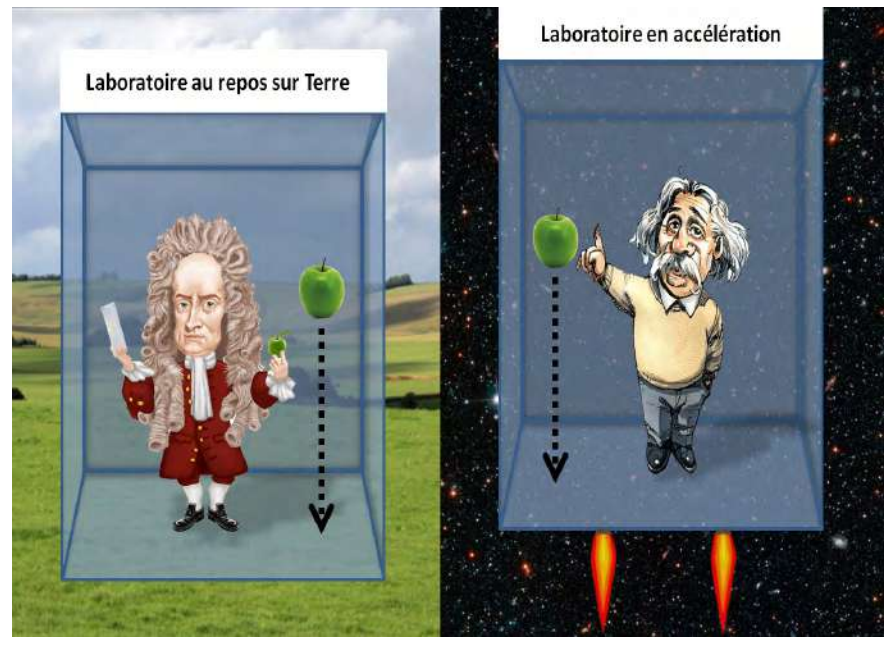


#### Le contexte en quelques mots

- La Relativité Générale (RG) est la théorie consacrée pour la gravitation
  - Toutes ses prédictions ont été vérifiées...
  - ➤ Le Principe d'Equivalence (PE) est l'un des piliers de la RG
- Des théories tentent d'unifier la gravitation avec les autres interactions
  - > Elles permettent en général une violation du PE
  - Le niveau de violation n'est pas explicitement prédit mais des arguments dimensionnels permettent de l'envisager à un niveau accessible aux tests actuels
- Améliorer le test du PE est donc important pour guider l'élaboration de théories unificatrices



# Le Principe d'Equivalence : un fait expérimental, pilier de la RG



Aucune expérience locale ne permet de distinguer une accélération gravitationnelle d'une accélération non gravitationnelle

- Forme dite faible : équivalence entre masse grave et masse inertertielle
- Paramètre d'Eötvös :

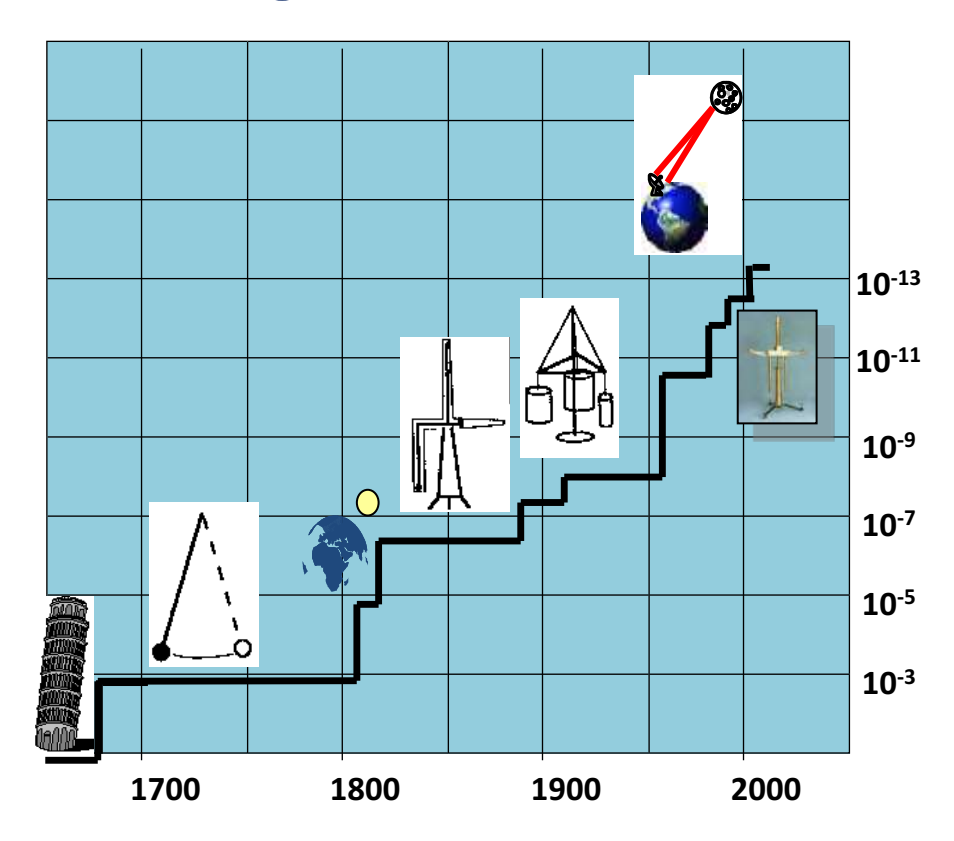
$$\eta(A,B) = 2\frac{\frac{m_{gA}}{m_{iA}} - \frac{m_{gB}}{m_{iB}}}{\frac{m_{gA}}{m_{iA}} + \frac{m_{gB}}{m_{iB}}} \simeq \frac{m_{gA}}{m_{iA}} - \frac{m_{gB}}{m_{iB}}$$

- Conséquence : universalité de la chute libre
- Violations possibles
  - Dépendance de la composition
  - Dépendance de la quantité de l'énergie d'auto-gravitation



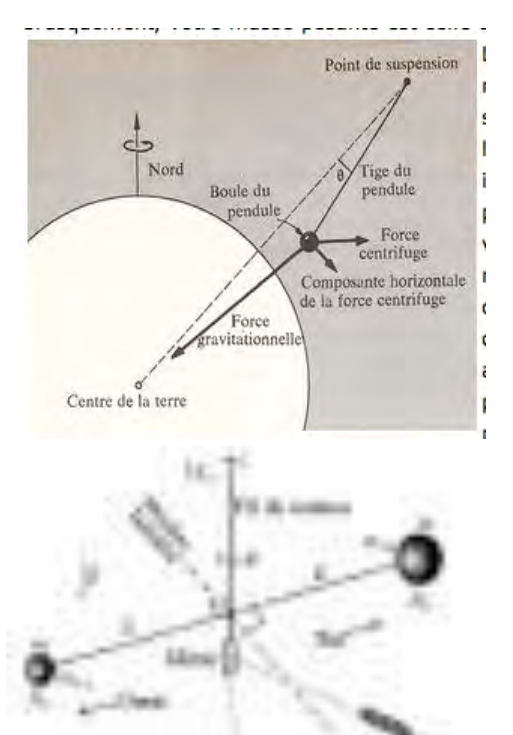


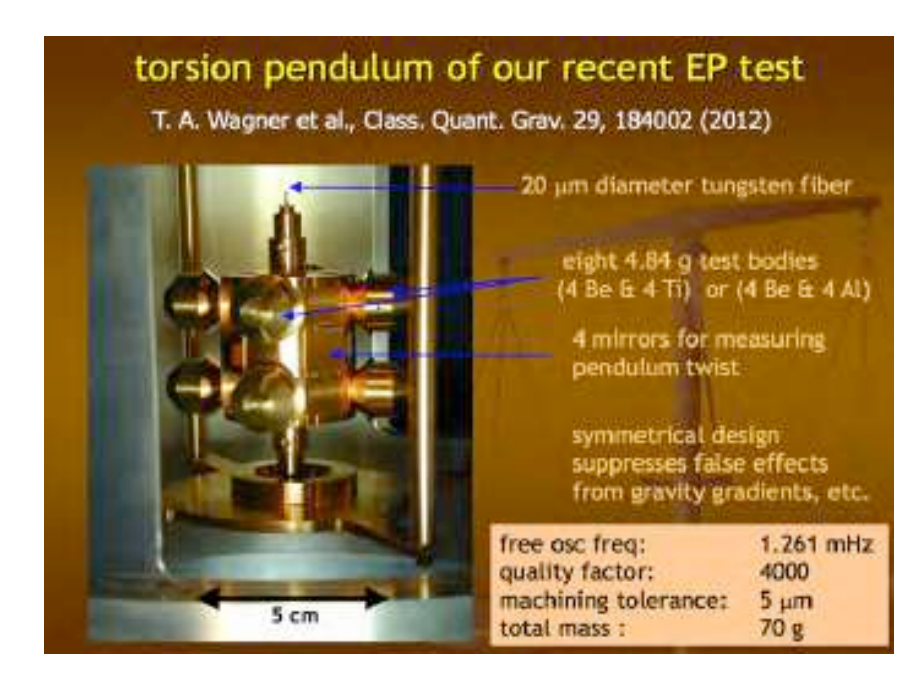
## Le test du PE : une longue histoire





#### Balance de torsion : expérience Eotwash



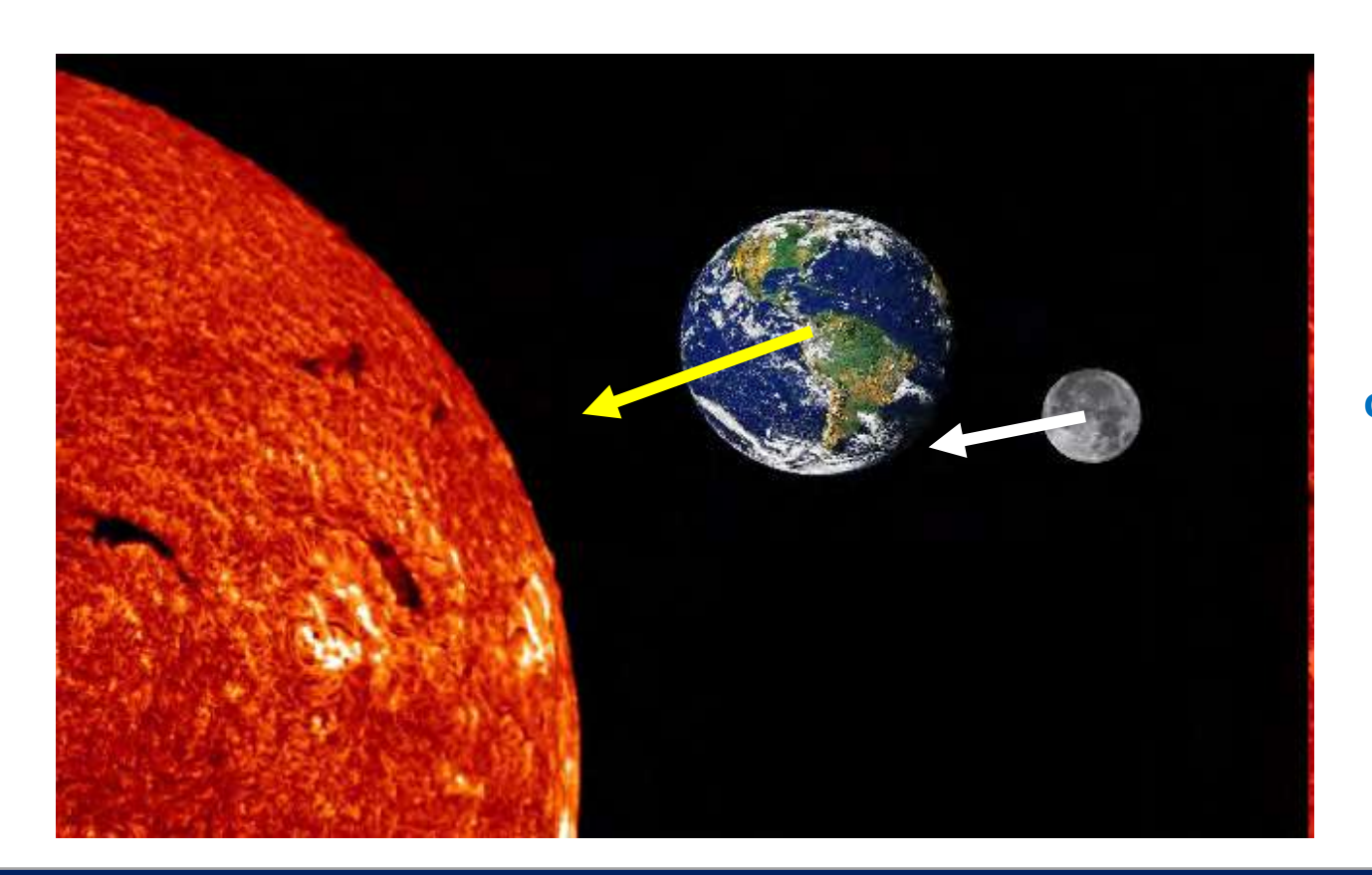


Credit University of Washington

$$\eta(Be, Ti) = (0.3 \pm 1.8) \times 10^{-13}$$
 $\eta(Be, Al) = (-0.7 \pm 1.3) \times 10^{-13}$ 



#### Chute de la Terre et de la Lune



La Terre et la Lune ont-elles la même chute libre dans le champ de gravitation du Soleil ?





MeO: télémétrie laser sur satellites et sur la Lune (plateau de Calern)





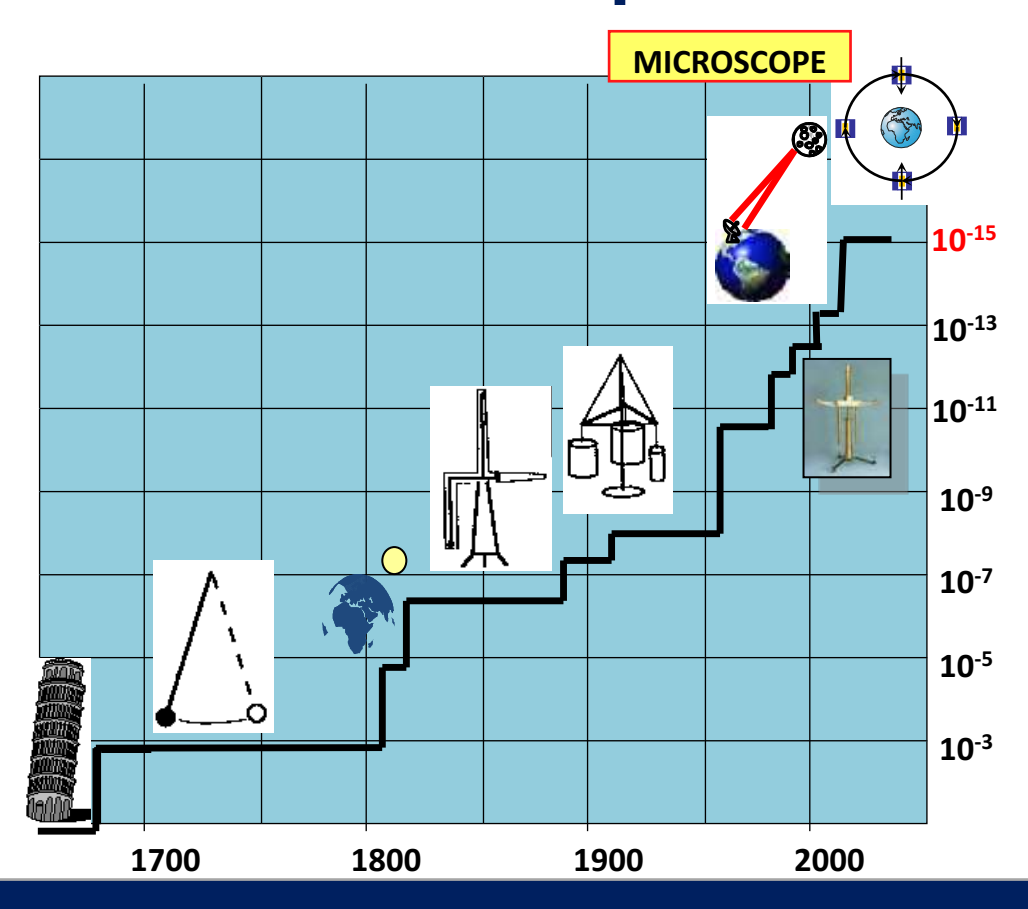
$$\eta(Terre, Lune) = (-0.8 \pm 1.3) \times 10^{-13}$$
 (Williams et al, 2013)  $\eta(Terre, Lune) = (-3.8 \pm 7.1) \times 10^{-14}$  (Viswanathan et al, 2018)

Paramètre de Nordvedt  $\delta_N$  qui quantifie l'impact de l'énergie interne de self-gravité

$$\eta = \delta_N (E_T - E_L); \ \delta_N = 4\beta - \gamma - 3$$



## **MICROSCOPE**: une nouvelle étape vers 10<sup>-15</sup>





## Cela veut dire quoi 10<sup>-15</sup>?

- En terme de rapport de forces :
  - → rapport entre le poids d'un moustique et celui d'un supertanker

En terme d'accélération :

$$\Delta \left(\frac{m_g}{m_i}\right) = 10^{-15} \Rightarrow \Delta \gamma = 10^{-15} g \sim 8 \cdot 10^{-15} \text{ ms}^{-2}$$

→ 4 millions d'années pour passer de 0 à 1 m/s (marche lente)



## **La mission Microscope**

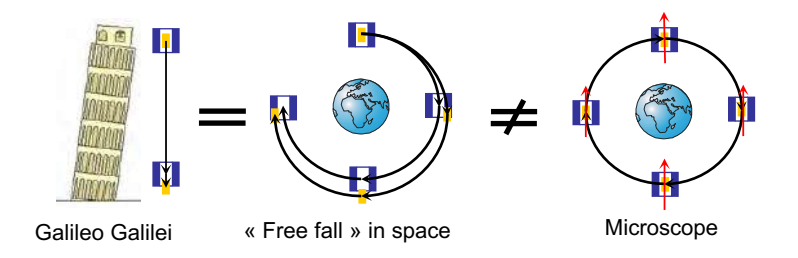


## **MICROSCOPE**

# MICROSatellite à traînée Compensée pour l'Observation du Principe d'Equivalence

## De Galilée à MICROSCOPE

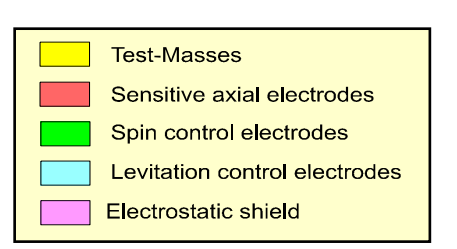




- Source gravitationnelle : la Terre
- Accélération inertielle: Mouvement orbital
- Contrôle des 2 masses de compositions différentes( < 10<sup>-11</sup>m)

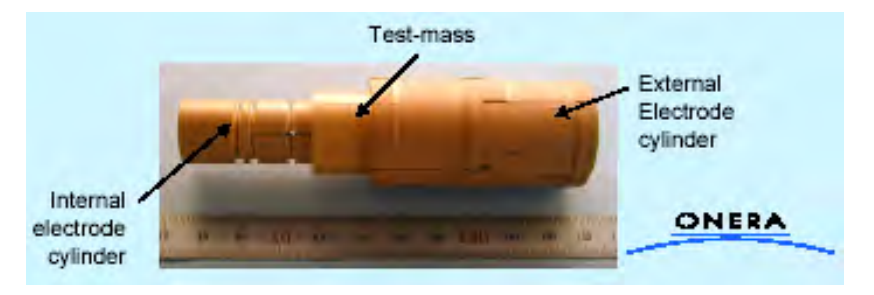


#### Les détecteurs : des accéléromètres différentiels (ONERA)



Masses d'épreuve en lévitation ique

Le mouvement des masses (jaunes) est mesuré par détection capacitive et compensé par une force électrostatique



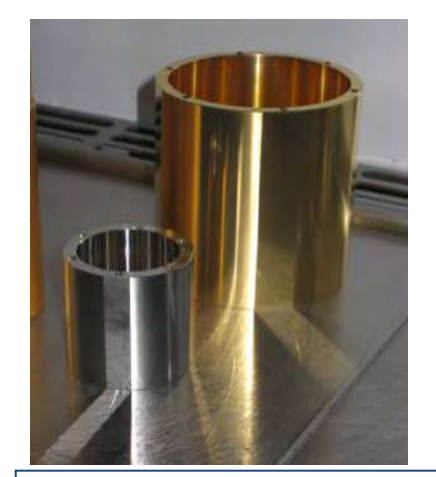
Cages liées au satellite

**Document ONERA** 

**Document ONERA** 

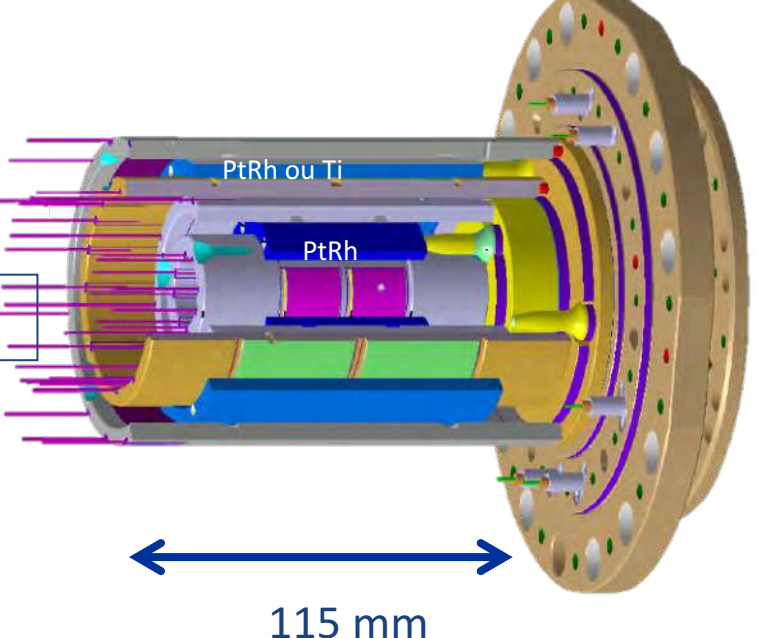


#### T-SAGE: une ensemble de 2 accéléromètres différentiels



Masses d'épreuve fabriquées\_\_ par le PTB (Allemagne)

- 1 senseur avec 2 masses identiques (Pt): SUREF
- 1 senseur avec 2 masses différentes (Pt, Ti) : SUEP





Métrologie : précision ~ 1à 5 μm



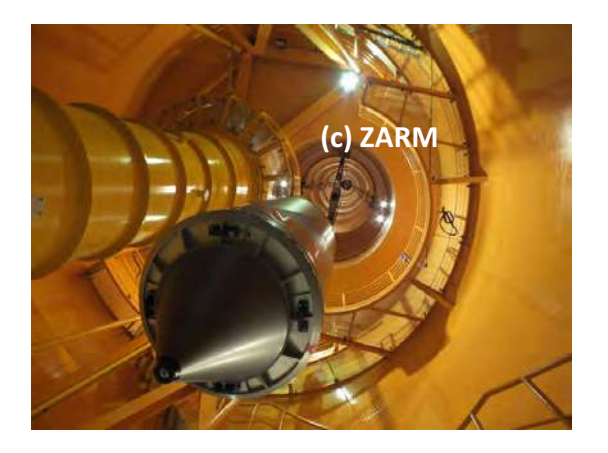
#### Tests dans la tour de chute libre BREMEN





(c) ZARM





H = 120 m

→ 5 s de chute libre

→ 10 s avec catapulte



#### Le satellite MICROSCOPE





#### Orbite:

- $\rightarrow$  H = 710 km
- Quasi-circulaire
- Heliosynchrone

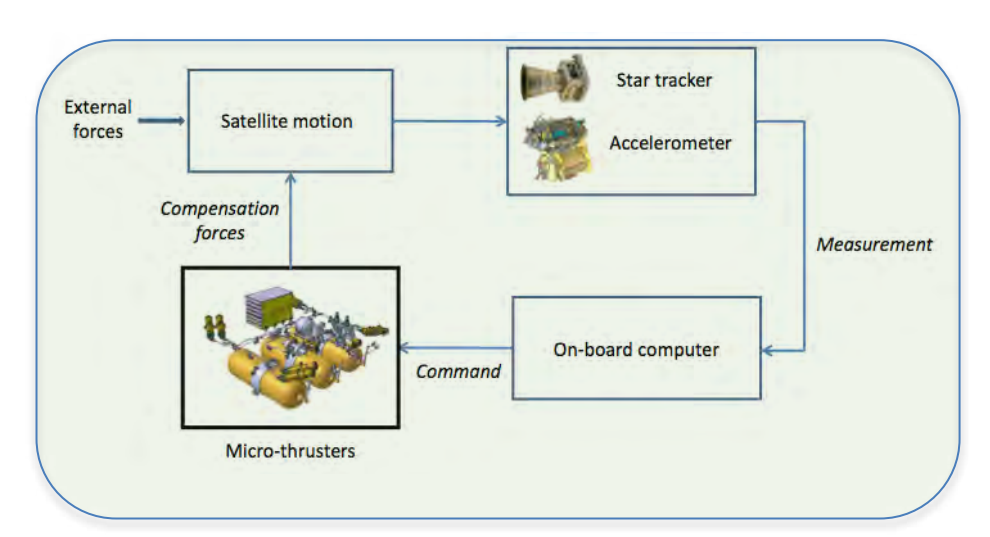




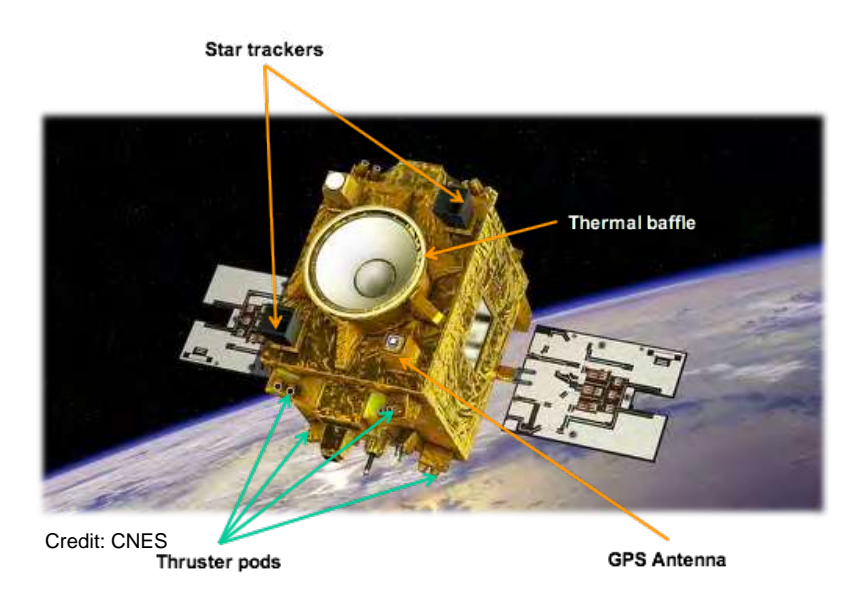
#### Le Système de Contrôle d'Attitude et d'Accélération

#### Objectifs:

- minimiser les accélérations en mode commun : forces non gravitationnelles… → « drag-free »
- Contrôler le mouvement angulaire



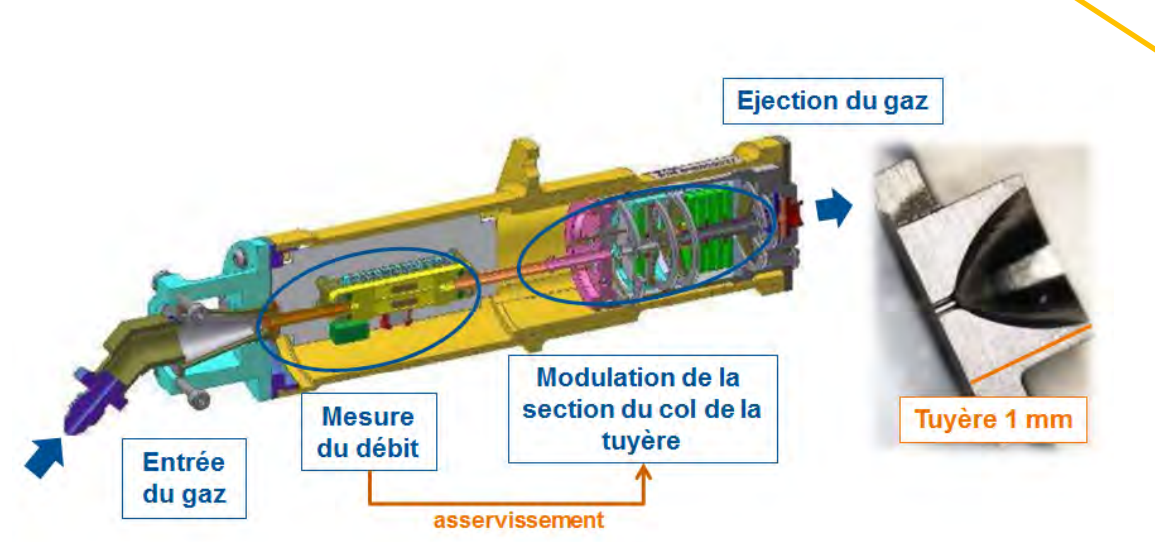
Performance meilleure que 10<sup>-12</sup> m/s<sup>2</sup>, 1 à 2 ordres de grandeur mieux que la spec.





## La micro-propulsion gaz froid

2 x 3 réservoirs → 16 kg de gaz à 350 bars en début de vie

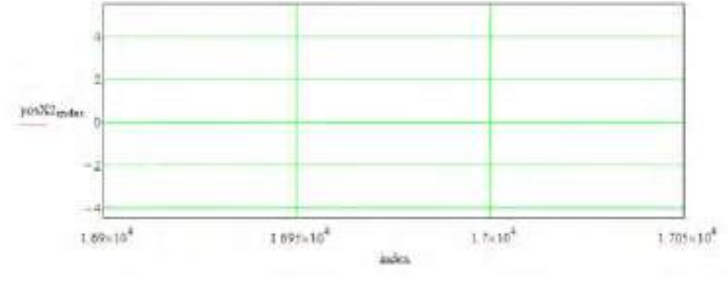


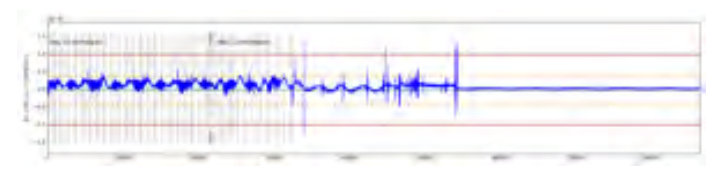
Résolution de quelques  $\mu$ Newtons = poids d'un grain de sable sur Terre











#### Lancement et premières étapes clef



- 25 avril 2016: lancement depuis Kourou par Soyuz
- 2 mai : libération des masses d'épreuve et activation du contrôle électrostatique
- 7 juin : 1<sup>er</sup> contrôle d'attitude par hybridation des senseurs stellaires et des mesures d'accélération angulaire par T-SAGE
- \* 9 juin : 1er drag-free 6 axes (36 boucles d'asservissement)
  - 16 décembre : début des opérations scientifiques

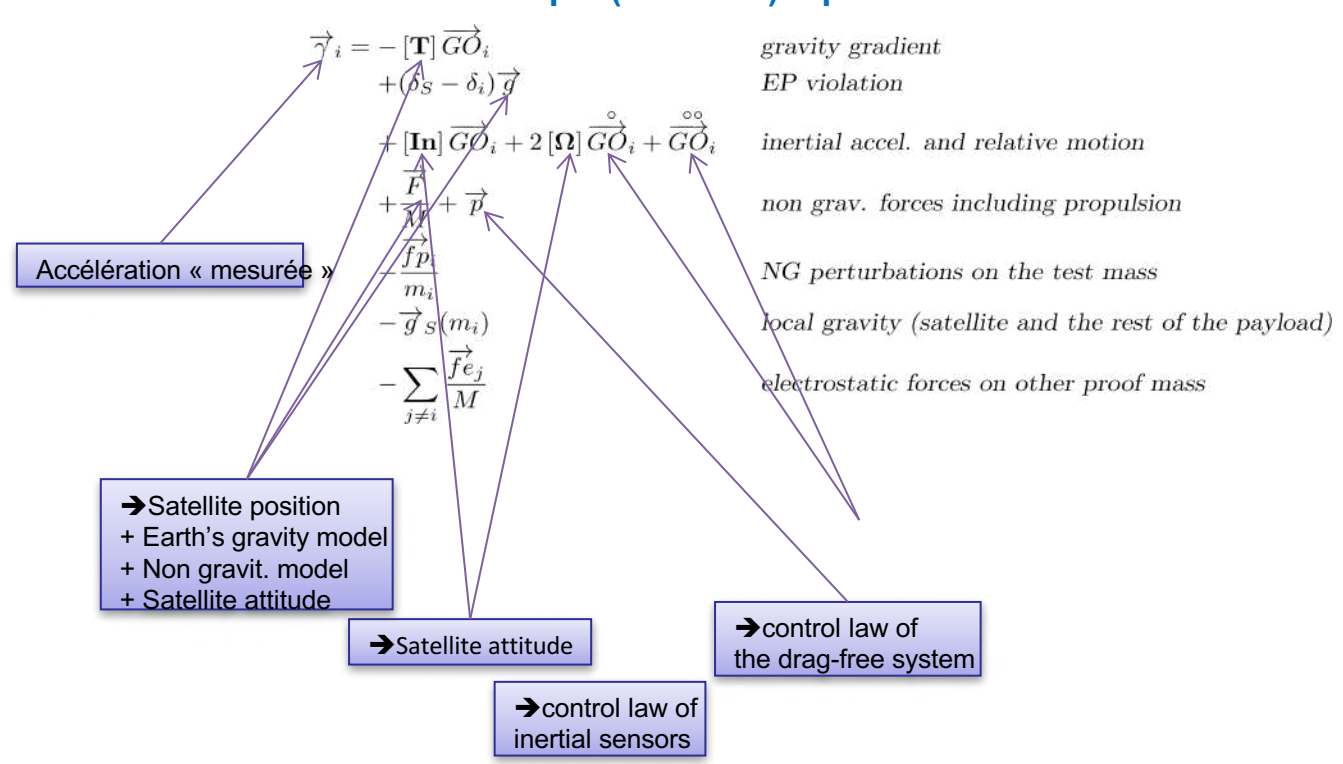


## **Que mesure-t-on?**



#### Mesure théorique

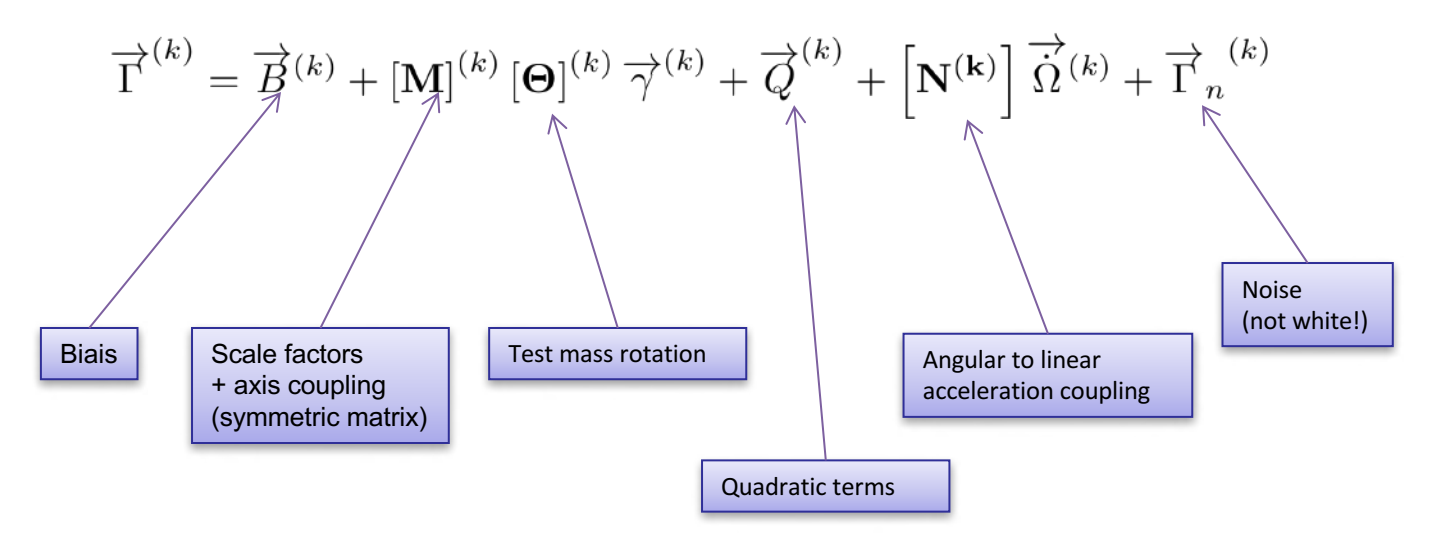
#### L'accélération électrosatique (mesurée) équilibre les accélérations "naturelles"





#### Réponse des senseurs

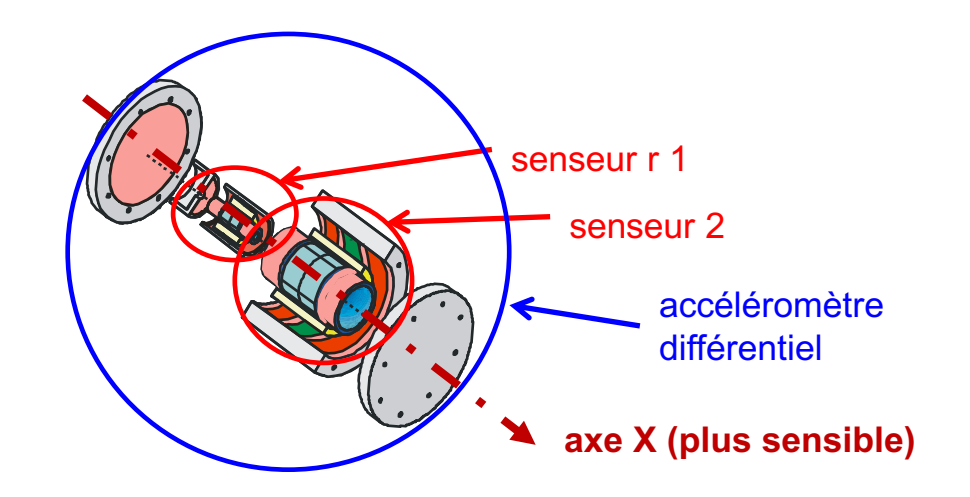
- sensor (test mass) k
- theoretical acceleration (input):  $\overrightarrow{\gamma}^{(k)}$
- measured acceleration (output):  $\overrightarrow{\Gamma}^{(k)}$





#### Accélération différentielle

1 accélérométre différentiel = 2 senseurs (masses)



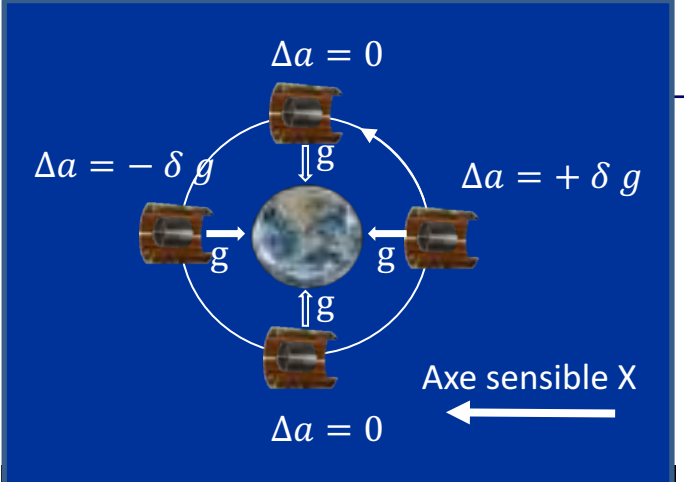
#### Nous nous intéressons à :

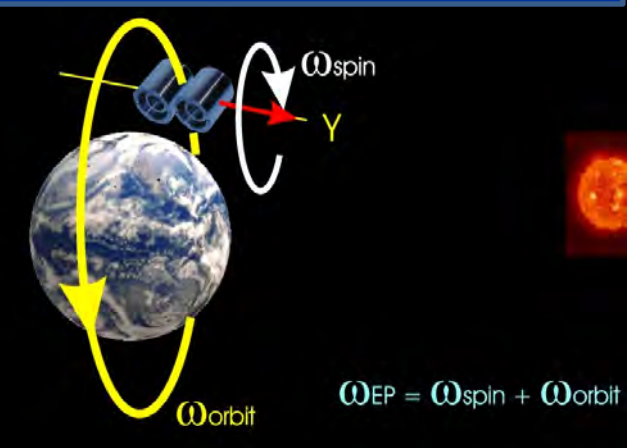
- l'accélération différentielle (pour observer la différence de chute libre),
- projetée sur l'axe sensible X (axial)



#### Accélération différentielle mesurée sur l'axe sensible X

$$\begin{split} 2\Gamma_x^{(d)} &= 2B_x^{(d)} \\ &+ \delta_x g_x + \delta_y g_y + \delta_z g_z \\ &+ \Delta_x S_{xx} + \Delta_y S_{xy} + \Delta_z S_{xz} + (ac_{13}\Delta_y + ac_{12}\Delta_z) S_{yz} + ac_{12}\Delta_y S_{yy} + ac_{13}\Delta_z S_{zz} \\ &+ (-ac_{13}\Delta_y + ac_{12}\Delta_z + 2nd_{11}) \dot{\Omega}_x - (\Delta_z - 2ac_{13}\Delta_x + 2nd_{12}) \dot{\Omega}_y + (\Delta_y - 2ac_{12}\Delta_x + 2nd_{13}) \dot{\Omega}_z \\ &+ 2 \Big( -ac_{13}\dot{\Delta}_y + ac_{12}\dot{\Delta}_z \Big) \Omega_x = 2 \Big(\dot{\Delta}_z - 2ac_{13}\Delta_x \Big) \Omega_y + 2 \Big(\dot{\Delta}_y - 2ac_{12}\dot{\Delta}_x \Big) \Omega_z \\ &- mc_{11}\ddot{\Delta}_{x,inst} - mc_{12}\dot{\Delta}_{y,inst} - mc_{13}\dot{\Delta}_{z,inst} \\ &+ 2 \left( ad_{11}\Gamma_x^{(c)} + ad_{12}\Gamma_y^{(c)} + ad_{13}\Gamma_z^{(c)} \right) \\ &+ K_{2xx}^{(1)} \left( \frac{\Gamma_x^{(1)} - b_{0x}^{(1)}}{K_{1x}^{(1)}} \right)^2 - K_{2xx}^{(2)} \left( \frac{\Gamma_x^{(2)} - b_{0x}^{(2)}}{K_{1x}^{(2)}} \right)^2 \end{split}$$
 Eötvös parameter estimated by calibration observed or/and computed negligible at  $Fep$ 





Fréquence fondamentale Fep = Fspin + Forb

## Spiner le satellite pour contrôler Fep terre



- Le spin permet d'adapter la fréquence fondamentale du signal PE (Fep)
- Permet de minimiser le niveau de bruit
- Mais...
  - La micro-propulsion impose une limite de la vitesse de spin
  - Tourner plus vite consomme plus de gaz
- 4 configurations implémentées :
  - Pas de spin (pointage quasi-inertiel)
    - → Fep = Forb = 1.7 10<sup>-4</sup> Hz
  - > Spin V1,  $f = 5.9 \cdot 10^{-4} \text{ Hz} \Rightarrow \text{Fep} = 7.6 \cdot 10^{-4} \text{ Hz}$
  - > Spin V2,  $f = 7.6 \cdot 10^{-4} \text{ Hz} \Rightarrow \text{Fep} = 9.3 \cdot 10^{-4} \text{ Hz}$
  - > Spin V3,  $f = 2.94 \cdot 10^{-3} \text{ Hz} \rightarrow \text{Fep} = 3.11 \cdot 10^{-3} \text{ Hz}$



## **Premiers résultats**



## Les premières sessions de test du PE

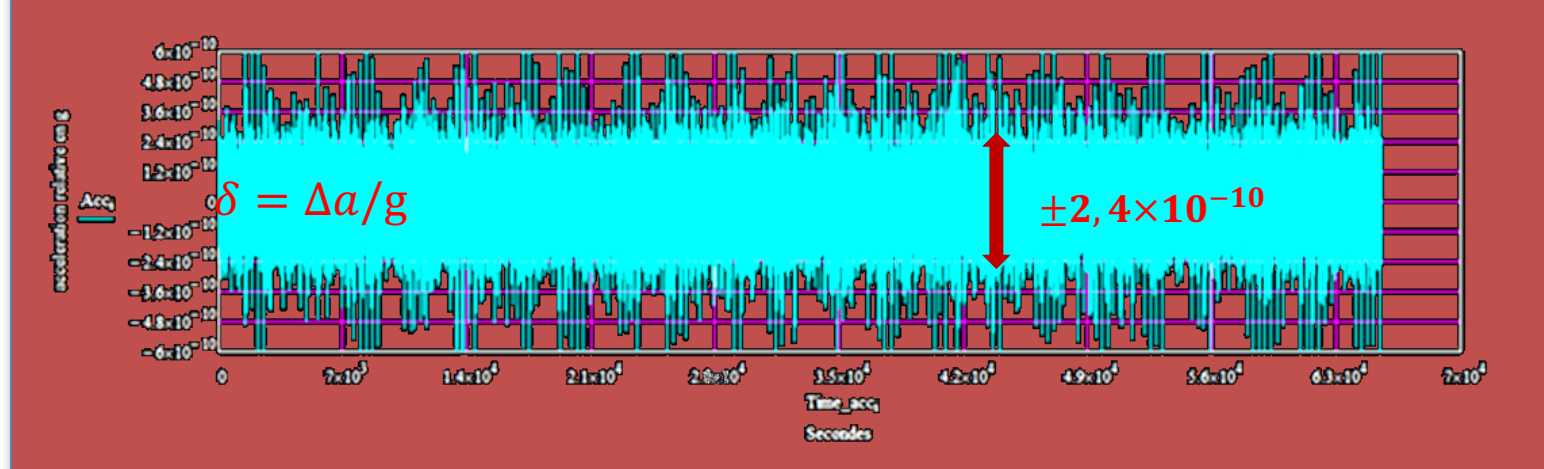
ΗE	171	2017-01-18714:22:59.978006		3544	NO_ECUPSE_NO_LLINE	1	1.01295	Ε	0.9	0.9	6808.7	6825.2
H	172	2017-01-18716:03:22.968294	CAL KldxDFIS2 01 SUREF	3945	NO ECUPSE NO LUNE	1	5.07000	E	4.7	5.6	5804	6820.6
13	173	2017-01-19100:25:49.137973		3550	NO_ECUPSE_NO_LUNE	1	3.07939	E	2.5	2.5	5801.2	6818
н	174	2017-01-19705:30:59.159261	EPR_V2DFIS2_D1_SUREF	3953	NO_ECUPSE_NO_LUNE	1	120.00000	63	81.1	67.5	6720	6750.3
4	175	2017-01-27711-42-57-925815		4578	NO SCUPSE NO LUNE	1	1.51531	- 6	- 1	0.6	6719	6749.5
1	176	2017-01-27714:13:07.942964	EPR_V2DFIS2_01_SUREF	4074	NO ECUPSE NO LUNE	1	B2.00000	E	56	48.4	5662.9	6701
幔	177	2017-02-02705:39:19.100109	and the second second	4156	ND_ECUPSE_ND_LUNE	- 1	2.57703	E	1.8	2	6661	6699
N.	178	2017-02-02709:54:42.094912	CAL_tetadZDFIS2_01_SUREF	4159	NO_ECUPSE_NO_LUNE	1	5.07000	E	3.1	2.8	6657.8	6696,2
П	179	2017-02-02718:17:09.262799		4164	NO_ECUPSE_NO_LUNE	1	1,01295	E	0.6	0.7	6657.2	6695,5
1	180	2017-02-02T19:57:31.253445	CAL_tetadYDFIS2_OL_SUREF	4165	NO ECUPSE NO LUNE	4	5.07000	E	2.6	3.1	5654.6	6692.4
H	181	2017-02-03704:19:57.421332	The Control of the Control	4170	NO_ECUPSE_NO_LUNE	- 1	1.18053	E	3,9	3.6	5650.5	6688.3
i.	182	2017-02-03706:16:57.435594	CAL_deltaYDFIS2_01_SUREF	4171	NO_EDUPSE_NO_LUNE	1	5.07000	E	13.2	13.5	6637.1	6674.5
	183	2017-02-03114:39:23.605273		4176	NO SCUPSE NO LUNE	1	1,18365	E	0.4	0.6	6636.6	6673.8
	164	2017-02-03716:36:41.576425	CAL_K21xx_02_SUREF	417B	NO EDUPSE NO LUNE	1	10.00000	E	5.1	5.3	6631.4	6668.5

-	DateOption		manufiche -	1702	Continue	w lott w	Decem	will w	w (1000) w	Cardina III	PHONE IN	COLUMN TWO	-
205	2017-02-15713:59:55.846867	- 1/1	The second secon	4521	NO ECLIPSE NO LUNE	. 2	1.01295	t	0.7	1.1	6587	6622,4	
206	2017-02-13715:40:18.833216		CAL_KINDHSI_01_SUEP	4322	NO ECLIPSE NO LUNE	2	5.07600		4	3.7	6582.9	5618.5	
207	2017-02-14T00:02:44.983178			4327	NO_ECUPSE_NO_LUNE	2	1.01295		0.5	0.6	6582.5	6617.9	
208	2017-02-14101:43:07.970959		CAL_K1dxDFIS2_01_SUEP	4328	NO_ECLIPSE_NO_LUNE	2	5.07000	E	2.9	3.3	6579.4	6614.3	
209	2017-02-14710:05:34.128091			4333	NO ECLIPSE NO LUNE	2	3.07939		10	9.1	6569.1	8604.9	
210	2017-02-14T15:10:44.141758		EPR_VBDRSZ_01_SUEP	4337	NO ECLIPSE NO LUNE	2	50,00000	9 E	176	151.3	6392.6	6453.3	
233	2017-02-18101:45:43.539435			4387	NO ECLIPSE NO LUNE	2	1.51531	8	5.4	4.2	6386.9	6448.7	
212	2017-02-18T04:15:53.534481		EPR_VSDRS2_03_SUEP	4338	NO_ECLIPSE_NO_LUNE	. 2	76,07593		253.5	235.1	6123-1	6233.3	
213	2017-02-28109:55:00.000000			4004	NO ECLIPSE NO LONE	Sin.	0.00000		0	.0	6123.1	6218.3	
214	2017-02-25T09:55:00.000000		TSNA	4464	NO ECLIPSE NO LUNE	0	61,80635		0	3.3	6127.9	5209.7	Her
215	2017-02-27716:00:00.028541			4526	NO_ECUPSE_NO_LUNE	2	1.01295	E	1.3	1.1	6121.7	6207.8	
216	2017-02-27717:40:23.014532		CAL_KILIKOPIS2_01_SUEP	4527	NO_ECLIPSE_NO_LUNE	2	5.07000		4.9	6.3	6115.9	6199.3	
217	2017-02-287102-02:49-160909			4532	NO ECLIPSE NO LUNE	- 1	3.07939		10.4	31	6106.4	6187,6	_
218	2017-02-28107:07:59.169132		EFR_V3DRSZ_01_SUEP	4535	NO ECLIPSE NO LUNE	7	120.0000	o t	384.8	405.8	5721	3781.7	
219	2017-03-06713:19:57.511429		2007	4655	NO_ECLIPSE_NO_LLINE	- 2	2.57703	3	3.7	4.9	5716.8	5776.4	
220	2017-03-08T17:35:20.494387		CAL tetadZDFISZ 01 SUEP	4658	NO ECLIPSE NO LUNE	2	5.07000	€	-3.9	7.9	5712.9	5768.3	
221	2017-03-09101:57:46.642557			4063	NO ECUPSE NO LUNE	2	1.01295		0.8	1.4	5712.1	5766.8	
222	2017-03-09703:58:09.628548		CAL tetadyorts2 01 State	4554	NO ECLIPSE NO LUNE	2	5.07000		3.6	6.3	5706.3	5758.3	
223	2017-03-09T12:00:35.775718	3	- Contract of the Contract of	4669	NO ECLIPSE NO LUNE	2	1.18063	E	2.9	4	5705	5754	
224	2017-03-09713:57:35:785554		CAL deltaYDFISZ 01 SUEP	4670	NO ECLIPSE NO LUNE	2	5.07000	E	11.9	15.7	5692.6	5738	
225	2017-03-09722:20:01.933724		The State of the S	4675	NO ECUPSE NO LUNE	2	1.18166		0.4	1.6	5691.9	5735.9	
226	2017-03-10700:17:19:958477		CAL K21xx 02 SUEP	4676	NO ECLIPSE NO LUNE	2	5.07000		3.3	7.3	5688.3	5728.3	
			2 401614		10.10							2000	



#### La mesure sur la session 218 (SUEP)

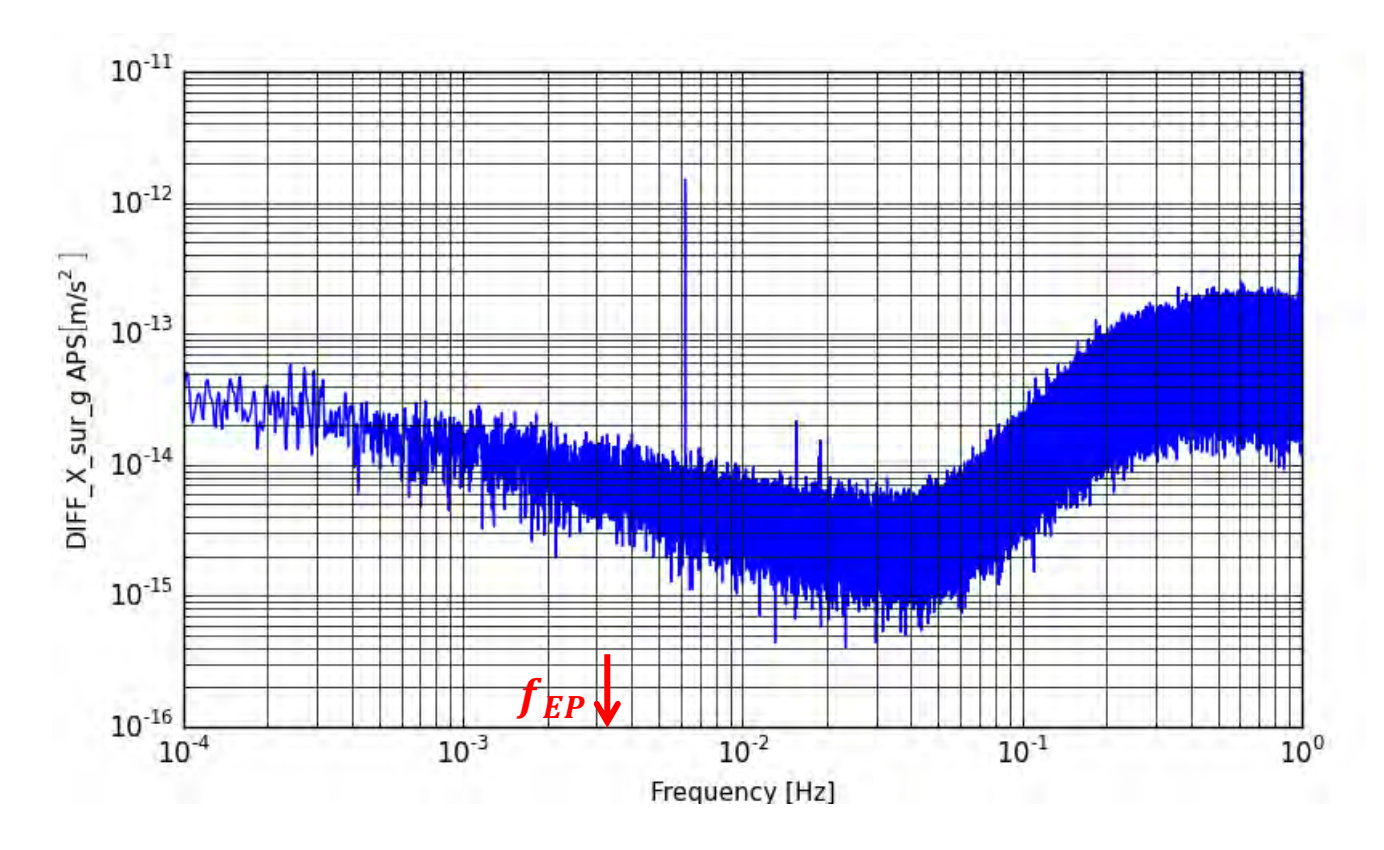
120 orbites = 8,25 jours → 2 Giga octets de données



- Beaucoup de bruit... mais réparti sur toutes les fréquences
- ullet Le traitement s'apparente à de la détection synchrone à  $f_{EP}$



## **Analyse fréquentielle du signal**

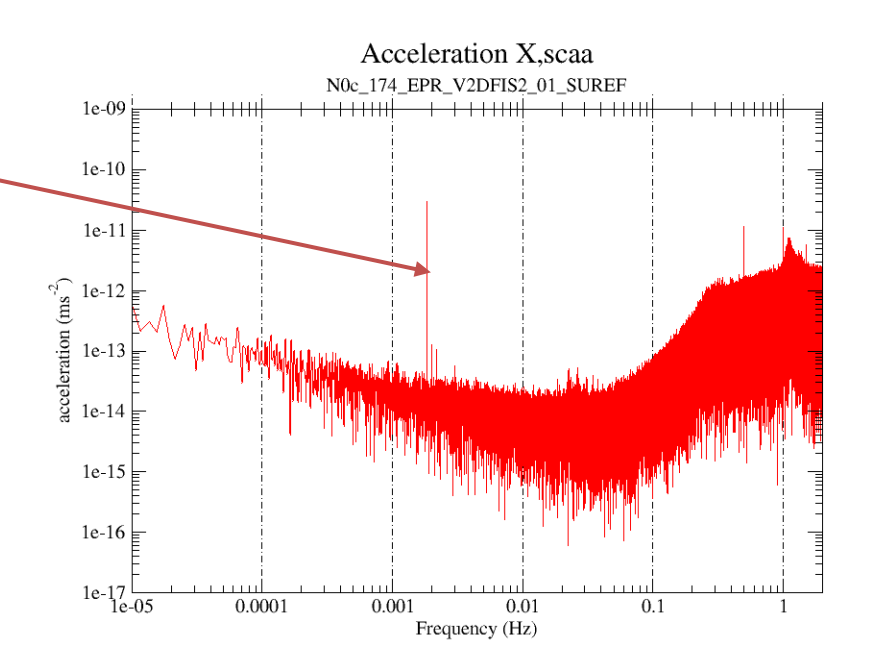




## Gradient de gravité : estimation des "décentrages"

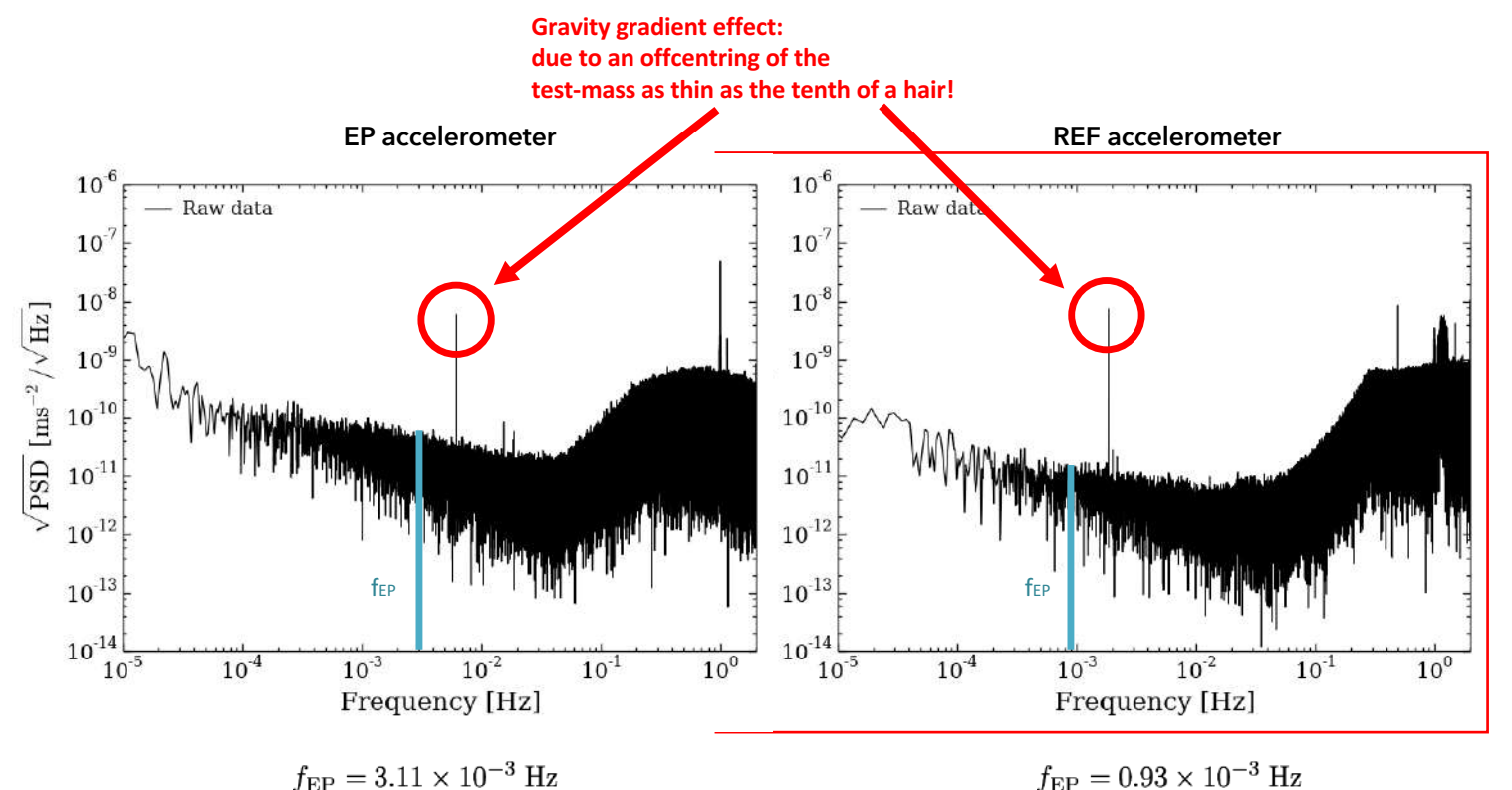
Les composantes  $\Delta X$  and  $\Delta Z$  (dans le plan orbital) peuvent être estimées grâce à ce signal à 2 Fep (amplitude + phase  $\Rightarrow$  2 paramètres)

 $\Delta x = (-35.57 + /- 0.02) \mu m$  $\Delta z = (5.54 + /- 0.02) \mu m$ 





# Premières sessions de mesures : du gradient de gravité mais pas de signal de violation...





#### **En chiffres:**

EP accelerometer										
Parameter	Unit	Estimation	Precision	Accuracy						
$\delta(\mathrm{Ti},\mathrm{Pt})$	10 <sup>-15</sup>	1.0	9	9						
$\Delta_x$	$\mu\mathrm{m}$	20.1	0.04	0.1						
$\Delta_y$	$\mu\mathrm{m}$	-8.4	0.2	0.2						
$\Delta_z$	$\mu\mathrm{m}$	-5.6	0.04	0.1						

#### **Compatible avec 0**

REF accelerometer										
Parameter	Unit	Estimation	Precision	Accuracy						
$\delta(\mathrm{Pt},\mathrm{Pt})$	10 <sup>-15</sup>	+4	4	TBD						
$\Delta_x$	$\mu\mathrm{m}$	-3.5	0.02	0.1						
$\Delta_y$	$\mu\mathrm{m}$	5.9	0.06	0.2						
$\Delta_z$	$\mu\mathrm{m}$	+5.5	0.02	0.1						

Pierre Touboul et al. Phys. Rev. Lett. 119, 231101

#### Le consortium MICROSCOPE



PRL 119, 231101 (2017)

PHYSICAL REVIEW LETTERS

week ending 8 DECEMBER 2017



#### MICROSCOPE Mission: First Results of a Space Test of the Equivalence Principle

Pierre Touboul, 1º Gilles Métris, 2º Manuel Rodrigues, 1º Yves André, 3 Quentin Baghi, 2 kvél Bergé, 1 Dannen Boulanger, Stefanie Bremer, 4 Patrice Carle, 1 Ratana Chhun, 1 Bruno Christophe, 1 Valerio Cipolla, 3 Thibault Dannour, 5 Pascale Danto, 1 Hansjoerg Dittus, 6 Pierre Fayet, 7 Bernard Foulon, 1 Claude Gageant, 1 Pierre-Yves Guidotti, 3 Daniel Hagedorn, 8 Emilie Hardy, 1 Phuong-Anh Huynh, 1 Henri Inchauspe, 1 Patrick Kayser, 1 Stéphanie Lala, 1 Claus Lämmerzahl, 4
 Vincent Lebat, 1 Pierre Leseur, 1 Françoise Liorzou, 1 Meike List, 4 Frank Löffler, 1 Isabelle Panet, 9 Benjamin Pouilloux, 2 Pascal Prieur, 3 Afexandre Rebray, 1 Serge Reynaud, 10 Benny Rievers, 2 Alain Robert, 3 Hanns Selig, 2 Laura Serron, 2

Timothy Summer, 11 Nicolas Tanguy, 1 and Pieter Visser 12

1 ONERA, chemin de la Hamière, BP 80100, F-91123 Palaiseau Cedex, France

2 Université Côte d'Azur, Oliserisatoire de la Côte d'Azur, CNRS, IRD, Géonzier,

250 Avenue Albert Einstein, F-06560 Valbonne, France

2 CNES, IR Avenue Edouard Belin, F-31401 Toulouse, France

2 ARM, Conter of Applied Space Technology and Microgravity, University of Bromen,

Am Fallium, D-28359 Bromen, Germany

<sup>3</sup>IHES, Institut des Hautes Études Scientifiques, 35 route de Chartres, F-91440 Bures-sur-Yvette, France.
<sup>6</sup>DLR, Köln Hendquarters, Limber Höhe, 51147 Köln, Germany

<sup>3</sup>LPTENS, École Normale Supérieure (PSL Research University), 24 Rue Lhomond, 75231 Paris Cedex 05, France PPB, Physikalisch-Technische Bundesanstalt, Bundesullee 100, 38116 Braunschweig, Germany PBN, Institut Géographique National, 73 Avenue de Paris, F-94160 Saint Mandé, France PLaboratioire Kastlee Brossel, UPMC Sorbonne Université, CNRS.

ENS-PSL Research University, College de France, F-75005 Paris, France

"Blacket Laboratory, Imperial College London, United Kingdom
Agranace Engineering, Delli University of Technology, Sluvversey I, 2629 FIS D.

<sup>12</sup>Fixedly of Aerospace Engineering, Delft University of Technology, Kluyverweg I, 2629 HS Delft, The Netherlands (Received 12 May 2017; revised manuscript seceived 20 September 2017; published 4 December 2017)

According to the weak equivalence principle, all bodies should fall at the same rate in a gravitational field. The MICROSCOPE satellite, hanched in April 2016, nims to test its validity at the  $10^{-15}$  precision level, by measuring the force required to maintain two test masses (of ittanium and platinum alloys) exactly in the same orbit. A nonvanishing result would correspond to a violation of the equivalence principle, or in the discovery of a new long-range force. Analysis of the first data gives  $\delta(Ti, Pc) = [-1 \pm 9(stat) \pm 9(syst)] \times 10^{-15}$  (16 substituted uncertainty) for the ittanium-platinum Eŭrvôs parameter characterizing the relative difference in their free-fall accelerations.

DOI: 10.1103/PhysRevLett.119.231101



## La suite

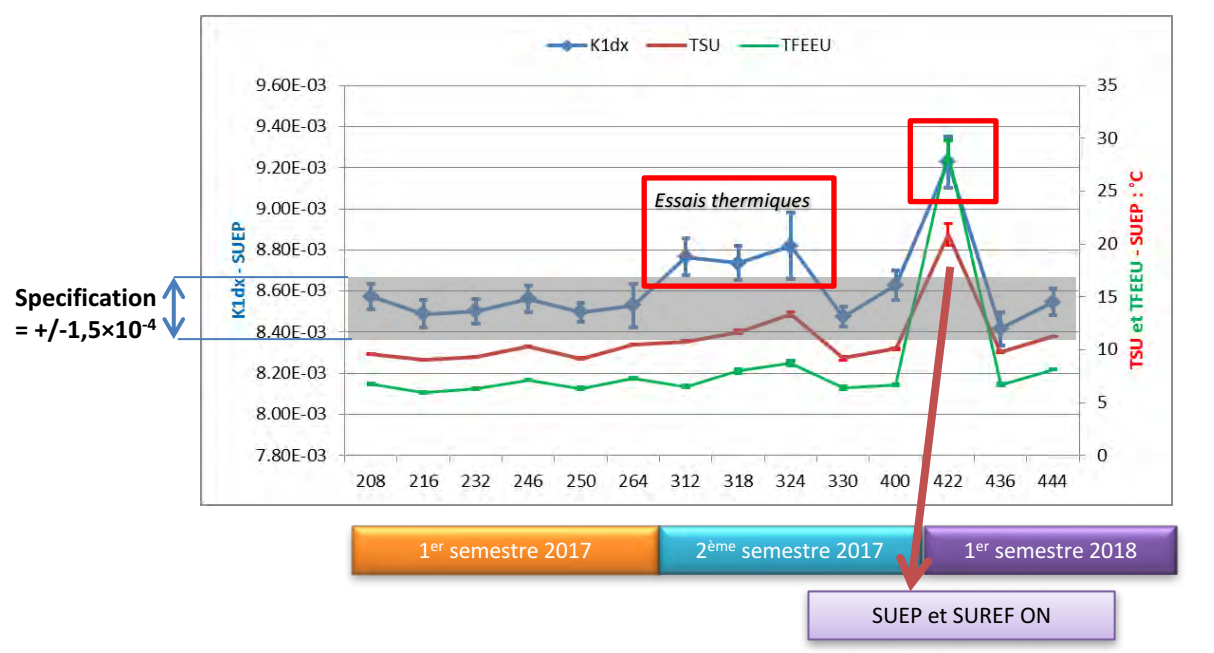


#### De nombreuses sessions scientifiques

- Réduction des erreurs statistiques par accumulation de données :
  - > 1674 orbites (≈10<sup>6</sup> secondes) de test PE sur SUEP
  - 766 orbites de test PE sur SUREF.
- Réduire et mieux caractériser les erreurs systématiques :
  - Des dizaines d'étalonnages
  - De nombreuses sessions de caractérisation (thermiques...)



#### Etalonnage : évolution des facteurs d'échelle sur SUEP



Corrélation avec la Température

Hors points chauds, Kd stable et les variations toujours dans l'enveloppe de spec sur 1 an.

Estimée en vol toujours dans la spec.

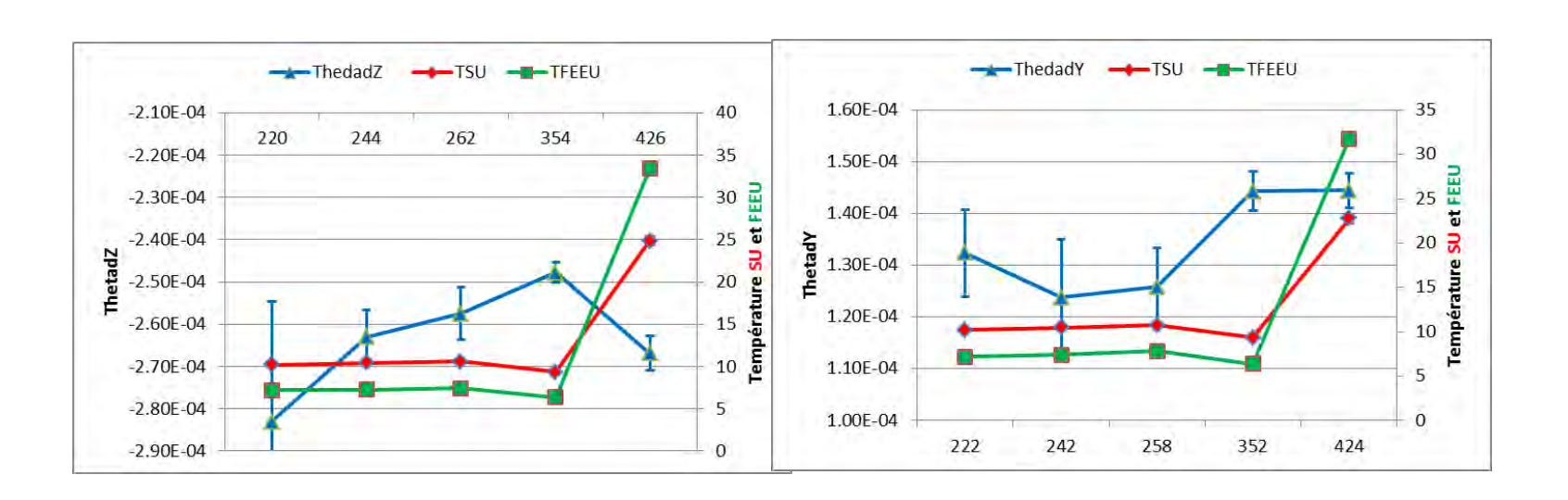
Pour ces points, une correction de la dérive de biais (ordre 1) préalable.



# **Etalonnage : évolution mes-alignement des masses d'épreuve sur SUEP**

Les mes-alignements sont stables sur toute la mission : écart max < 30 μrad pour une spec à +/- 50μrad

Pas de lien évident avec la température





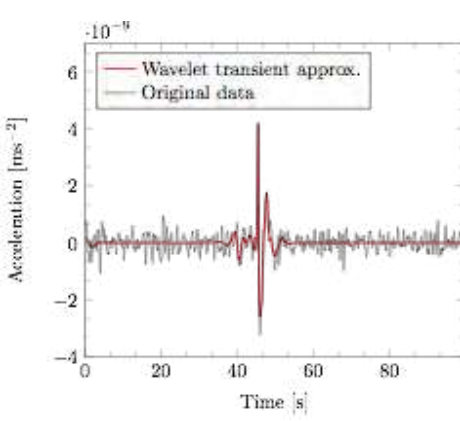
#### Bilan satellite au bout de 2 ans en orbites

#### Charge utile T-SAGE

- Malgré 3 anomalies sur des condensateurs (SUREF), les 2 doubles accéléromètres électrostatiques (SUEP et SUREF) ont bien fonctionné
- Beaucoup de données scientifiques et techniques à analyser finement pour améliorer le modèle instrumental (en particulier modèle thermique)
- Instrument très sensible (micro-débris ou craquement MLI-revêtement du satellite + des vibrations autour de 25-50Hz)

#### Satellite

- Orbite parfaite
- Très grande stabilité thermique
- SCAA excellent...
- ...Mais tout a une fin, le gaz aussi



## AZUC IERRE - OCÉAN - ESPACE

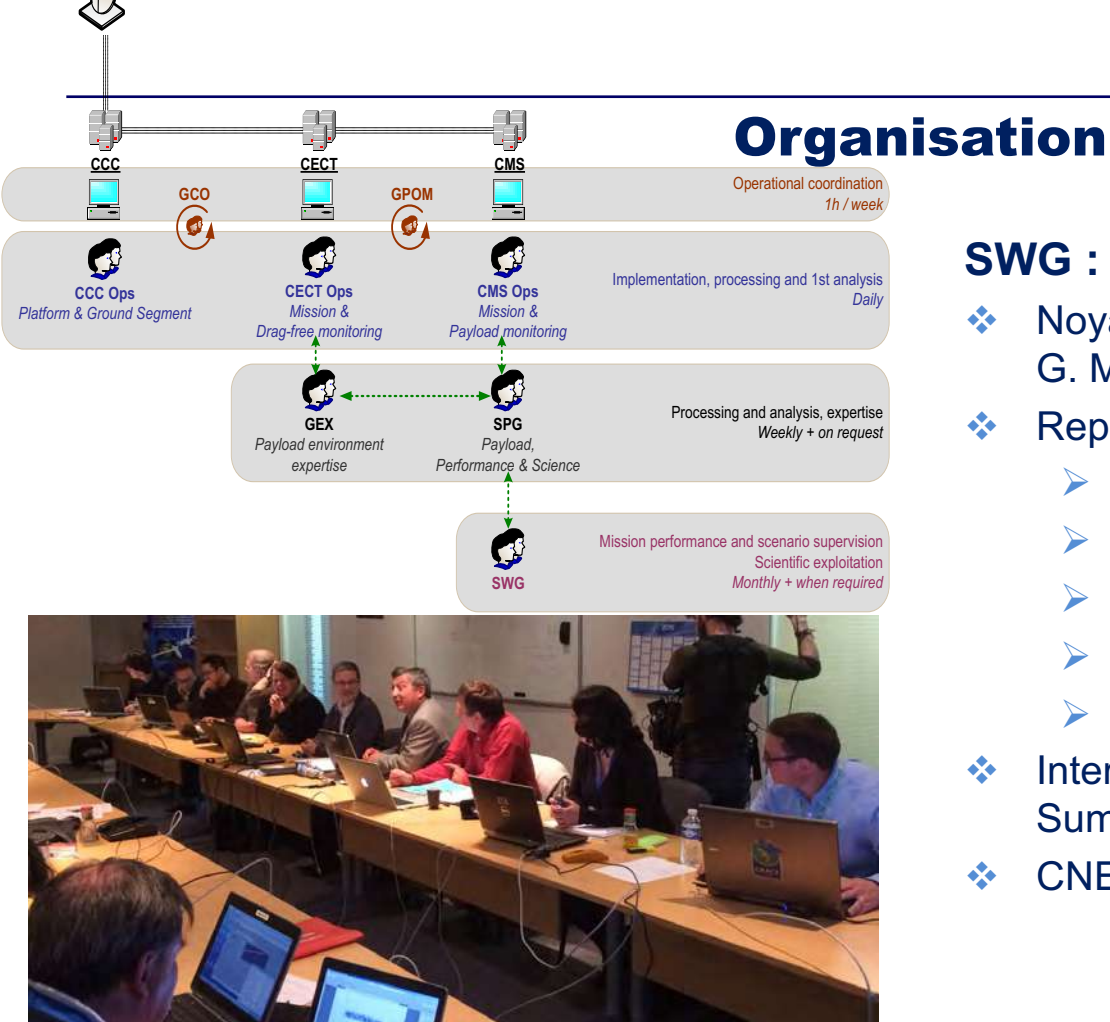
#### Statut de la mission

- Tir le 25 avril 2016
- 7 mois de recette en vol, compliquée
- Exploitation scientifique depuis décembre 2016
- Fin d'exploitation scientifique : été 2018
- Mesures d'aéronomie jusqu'en septembre 2018
- Retrait de service : semaine 42 (15-19 octobre) 2018
- Publication résultats complets en 2019



#### Les principaux organismes impliqués

- CNES: satellite, lancement, opérations sol, performances mission.
- **ESA:** propulseurs à gaz froid.
- DLR: masses d'épreuve (PTB), chutes libres et analyses (ZARM).
- ONERA: développement et tests de la charge, analyse mission and et performances, centre de mission scientifique.
- Géoazur (OCA-CNRS-UCA): analyses mission et spécifications, simulations et analyses des données.





#### SWG:

- Noyau historique : P. Touboul, M. Rodrigues, G. Métris, C. Lämmerzahl, H. Dittus
- Représentants de thématiques scientifiques :
  - Gravitation: T. Damour
  - Fundamental Interactions : P. Fayet
  - Interdisciplinary Physics : S. Reynaud
  - Earth gravity field: I. Panet
  - Aeronomy: P. Visser
- Interaction autres missions "similaires": T. Sumner
- CNES: I. Petitbon, P.Y. Guidotti, A. Robert

## Merci















